

วงจรเรียงกระแสแบบวิธีสวิตซ์ฮาร์โมนิกต่ำที่ไม่ต้องใช้วงจรไดโอดเรียงกระแสด้านเข้า

นาย ยุทธชัย ศิลปวิจารณ์



สถาบันวิทยบริการ

วิทยานิพนธ์นี้เป็นส่วนหนึ่งของการศึกษาตามหลักสูตรปริญญาวิศวกรรมศาสตรมหาบัณฑิต

สาขาวิชาวิศวกรรมไฟฟ้า ภาควิชาวิศวกรรมไฟฟ้า

บัณฑิตวิทยาลัย จุฬาลงกรณ์มหาวิทยาลัย

ปีการศึกษา 2541

ISBN 974-332-561-1

ลิขสิทธิ์ของบัณฑิตวิทยาลัย จุฬาลงกรณ์มหาวิทยาลัย

**A LOW HARMONIC SWITCHED-MODE RECTIFIER WITHOUT INPUT
DIODE-RECTIFIER CIRCUIT**

MR.YUTTHACHAI SILLAPAWICHARN

สถาบันวิทยบริการ
จุฬาลงกรณ์มหาวิทยาลัย

**A Thesis Submitted in Partial Fulfillment of the Requirements
for the Degree of Master of Engineering in Electrical Engineering**

Department of Electrical Engineering

Graduate School

Chulalongkorn University

Academic Year 1998

ISBN 974-332-561-1

หัวข้อวิทยานิพนธ์ : วงจรเรียงกระแสแบบวิธีสวิตซ์ฮาร์มอนิกต่ำที่ไม่ต้องใช้วงจรถอด
เรียงกระแสด้านเข้า

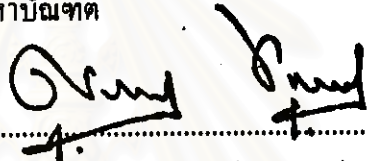
โดย : นายบุษกรชัย ศิลปวิจารณ์

ภาควิชา : วิศวกรรมไฟฟ้า

อาจารย์ที่ปรึกษา : รองศาสตราจารย์ ดร.บุษณา กุลวิทิต


อาจารย์ที่ปรึกษาร่วม : รองศาสตราจารย์ ดร.โคทม อารียา

บัณฑิตวิทยาลัย จุฬาลงกรณ์มหาวิทยาลัย อนุมัติให้หัวข้อวิทยานิพนธ์ฉบับนี้เป็นส่วนหนึ่ง
ของการศึกษาตามหลักสูตรปริญญาวิทยาศาสตรบัณฑิต

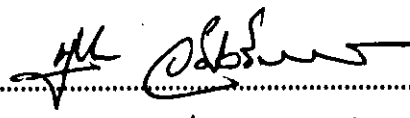

.....คณบดีบัณฑิตวิทยาลัย
(ศาสตราจารย์ นายแพทย์ ศุภวัฒน์ ชูติวงศ์)

คณะกรรมการสอบวิทยานิพนธ์


.....ประธานกรรมการ
(อาจารย์ ดร.สมบูรณ์ แสงวงศ์วานิชย์)


.....อาจารย์ที่ปรึกษา
(รองศาสตราจารย์ ดร.บุษณา กุลวิทิต)


.....อาจารย์ที่ปรึกษาร่วม
(รองศาสตราจารย์ ดร.โคทม อารียา)


.....กรรมการ
(รองศาสตราจารย์ กฤษดา วิสวธีรานนท์)


.....กรรมการ
(อาจารย์ เจ็ดกมล ไสภวานิตย์)

พิมพ์ต้นฉบับบทความวิจัยวิทยานิพนธ์ภายในกรอบสี่เหลี่ยมนี้เพียงแผ่นเดียว

บุทชชัย ศิลปวิจารณ์ : วงจรเรียงกระแสแบบวิธีสวิตซ์ฮาร์โมนิกค้ำที่ไม่ต้องใช้วงจรไดโอด
เรียงกระแสด้านเข้า (A LOW HARMONIC SWITCHED-MODE RECTIFIER WITHOUT INPUT
DIODE-RECTIFIER CIRCUIT) อ.ที่ปรึกษา : รศ.ดร. บุทชญา กุลวิฑิต , อ.ที่ปรึกษาร่วม :
รศ.ดร. โคทม อาริยา , 89 หน้า. ISBN 974-332-561-1

วิทยานิพนธ์ฉบับนี้นำเสนอวงจรเรียงกระแสแบบวิธีสวิตซ์ชนิดใหม่ที่ไม่ต้องใช้วงจรไดโอดเรียง
กระแสด้านเข้า การทำงานตามธรรมชาติของวงจรแปลงผันมีลักษณะที่จะไม่ทำให้เกิดแรงดันยอดแหลมเนื่อง
จากผลของตัวเหนี่ยวนำรั่วไหลของหม้อแปลง จึงไม่จำเป็นต้องใช้สแน็บเบอร์เพื่อระงับแรงดันยอดแหลมที่ตก
คร่อมสวิตซ์อินเนื่องมาจากผลของตัวเหนี่ยวนำรั่วไหลของหม้อแปลง การควบคุมกระแสด้านเข้าให้มีรูปคลื่น
ใกล้เคียงไซน์เช่นเดียวกับแรงดันด้านเข้าเพื่อลดกระแสฮาร์โมนิกและเพิ่มตัวประกอบกำลังใช้การควบคุมแบบ
ฮิสเตอร์เรซิสที่มีแถบฮิสเตอร์เรซิสคงตัว เนื่องจากกระแสด้านเข้าของวงจรแปลงผันไฟสลับ-ไฟตรงมีได้ทั้งบวก
และลบ จึงไม่ทำให้เกิดการเพี้ยนของกระแสในบริเวณใกล้ศูนย์ ได้มีการอธิบายการทำงานและคำนวณหา
สมการสถานะของค่าเฉลี่ยเฉพาะที่ของตัวแปรสถานะสำหรับวงจรแปลงผันที่นำเสนอใหม่ การตรวจสอบ
ความถูกต้องของการคำนวณใช้วิธีจำลองการทำงานของวงจรแปลงผันด้วยคอมพิวเตอร์ โดยใช้แบบจำลองที่
มีการสวิตซ์และใช้สมการสถานะของค่าเฉลี่ยเฉพาะที่ของตัวแปรสถานะได้มีการทดสอบการทำงานของวงจร
แบบใหม่นี้โดยการทดลอง ผลที่ได้สอดคล้องกับทฤษฎี

สถาบันวิทยบริการ
จุฬาลงกรณ์มหาวิทยาลัย


ภาควิชา วิศวกรรมไฟฟ้า

สาขาวิชา อิเล็กทรอนิกส์กำลัง

..... 2541

ลายมือชื่อนิสิต 

ลายมือชื่ออาจารย์ที่ปรึกษา 

ลายมือชื่ออาจารย์ที่ปรึกษาร่วม 

C815973 : MAJOR POWER ELECTRONICS

KEY WORD: SWITCHED-MODE RECTIFIER / AC-DC CONVERTER / HIGH POWER FACTOR RECTIFIER

YUTTHACHAI SILLAPAWICHARN: A LOW HARMONIC SWITCHED-MODE RECTIFIER WITHOUT INPUT DIODE-RECTIFIER CIRCUIT. THESIS ADVISOR : ASSO. PROF. YOUTHANA KULVITIT, DR.ING. THESIS CO-ADVISOR: ASSO.PROF. GOTHOM ARYA, DR.ING. 89 pp. ISBN 974-332-561-1

A new switched-mode rectifier is proposed. In the proposed converter, conventional input diode-rectifier circuit is eliminated. As a lossless snubbing effect is inherently included in the converter, no additional snubber is needed to suppress spike voltage across the switching devices caused by leakage inductance of the isolation transformer. In order to reduce input harmonic current and increase input power factor, the input current is controlled to follow the sinusoidal input voltage waveform. A fixed-band hysteresis control is used to control the input current waveform. Because the input current of the converter can be either positive or negative, there is no crossover distortion in the input current waveform even if a fixed-band hysteresis control is used. The operation principle of the circuit is explained. Local-average state equations are derived. The analytical results are verified through simulation by comparing waveform obtain from local-average model and switched circuit model. The new converter topology is also experimentally verified. Theoretical model correlated well with the experimental data.



ภาควิชา.....วิศวกรรมไฟฟ้า.....
สาขาวิชา.....อิเล็กทรอนิกส์กำลัง.....

ลายมือชื่อนิสิต.....
ลายมือชื่ออาจารย์ที่ปรึกษา.....



กิตติกรรมประกาศ

วิทยานิพนธ์นี้ สำเร็จได้ด้วยความช่วยเหลือจาก รศ.ดร.โกทม อารียา และรศ.ดร.บุษยามา กุลวิฑิต อาจารย์ที่ปรึกษา ซึ่งได้ให้คำแนะนำที่เป็นประโยชน์ และข้อคิดเห็นต่างๆที่เป็นประโยชน์ ต่อการวิจัยด้วยดีมาตลอด อีกทั้ง ดร.สมบูรณ์ แสงวงศ์วานิชย์, รศ.กฤษดา วิสวธีรานนท์ และ อ.เจ็ดกมล ไสภวานิชย์ คณะกรรมการสอบ คุณศิริวัฒน์ เหล่าหะเกียรติ ที่ได้คำปรึกษาที่เป็นประโยชน์ คุณคณิต ชัยวัฒนาที่ช่วยเหลือในการจัดพิมพ์วิทยานิพนธ์บางส่วน ขอบคุณพี่ๆและน้องๆห้องปฏิบัติการวิจัยอิเล็กทรอนิกส์กำลังที่เป็นกำลังใจและให้ความช่วยเหลือตลอดมา ขอบคุณสถาบันเทคโนโลยีราชมงคล ที่ได้โอกาสข้าพเจ้าในการลาศึกษาต่อ และสำหรับเครื่องมือบางส่วนที่ใช้ในวิจัย

การวิจัยครั้งนี้ได้รับทุนวิจัยบางส่วนจากทุนอุดหนุนการวิจัยการวิจัยของบัณฑิตวิทยาลัย จึงขอขอบคุณมา ณ ที่นี้ด้วย

สุดท้ายนี้ข้าพเจ้าใคร่ขอกราบขอบพระคุณบิดาผู้ล่วงลับ,มารดาและพี่ๆของข้าพเจ้าเป็นอย่างสูง ที่ให้กำลังใจข้าพเจ้าเป็นอย่างดี และเข้าใจข้าพเจ้าเสมอมา จวบจนสำเร็จการศึกษา

บุทรชัย ศิลปวิจารณ์

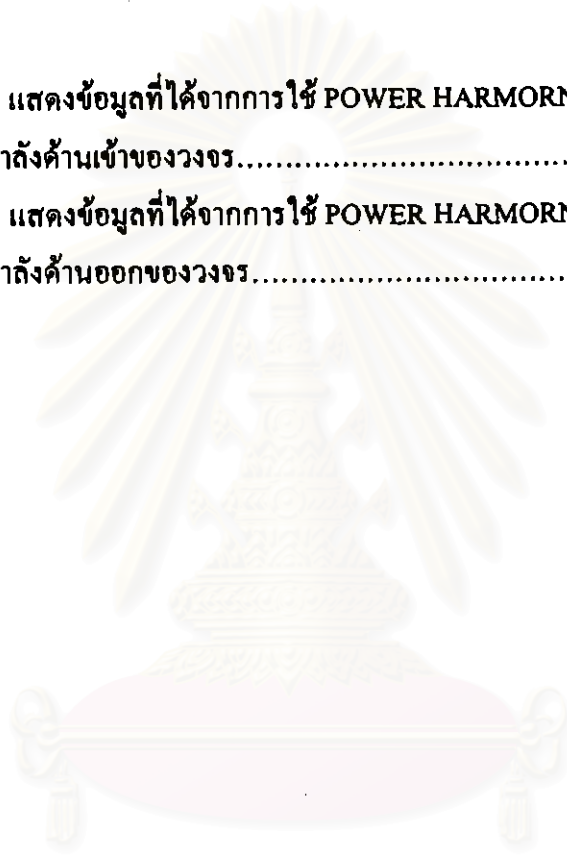
สถาบันวิทยบริการ
จุฬาลงกรณ์มหาวิทยาลัย

สารบัญเรื่อง

	หน้า
บทคัดย่อภาษาไทย.....	ง
บทคัดย่อภาษาอังกฤษ.....	จ
กิตติกรรมประกาศ.....	ฉ
สารบัญเรื่อง.....	ช
สารบัญตาราง.....	ซ
สารบัญภาพ.....	ณ
บทที่	
1. บทนำ.....	1
2. ทฤษฎี.....	4
3. การออกแบบ.....	38
4. การทดสอบ.....	51
5. บทสรุปและข้อเสนอแนะ.....	66
รายการอ้างอิง.....	68
บรรณานุกรม.....	69
ภาคผนวก	70
ประวัติผู้เขียน.....	77

สารบัญตาราง

ตารางที่		หน้า
ตารางที่ 4.1	แสดงข้อมูลที่ได้จากการใช้ POWER HARMORNICS ANALYZER วัดกำลังด้านเข้าของวงจร.....	64
ตารางที่ 4.2	แสดงข้อมูลที่ได้จากการใช้ POWER HARMORNICS ANALYZER วัดกำลังด้านออกของวงจร.....	65



สถาบันวิทยบริการ
จุฬาลงกรณ์มหาวิทยาลัย

สารบัญภาพ

รูปที่	หน้า
รูปที่ 1.1 แผนภาพแสดงโครงสร้างของแหล่งจ่ายไฟตรงแบบทั่วไป.....	2
รูปที่ 2.1 วงจรทอนระดับ (Buck).....	4
รูปที่ 2.2 วงจรแปลงผันไปหน้า (Forward Converter).....	5
รูปที่ 2.3 วงจรpush-พูลภาคแรงดัน (Push-Pull Converter).....	6
รูปที่ 2.4 วงจรบริดจ์อสมมาตร (Asymmetrical Bridge).....	6
รูปที่ 2.5 วงจรกึ่งบริดจ์ (Half-Bridge).....	7
รูปที่ 2.6 วงจรบริดจ์ (Bridge).....	8
รูปที่ 2.7 วงจรทบระดับ (Boost).....	8
รูปที่ 2.8 วงจรpush-พูลภาคกระแส.....	9
รูปที่ 2.9 วงจรทอนทบระดับภาคแรงดัน (Buck-Boost).....	10
รูปที่ 2.10 วงจรบินกลับ (Flyback Converter).....	10
รูปที่ 2.11 วงจรทอนทบระดับภาคกระแส (Cuk).....	11
รูปที่ 2.12 วงจรเรียงกระแสแบบวิธีสวิตช์ในการทำงานภาคไฟตรง-ไฟตรง.....	12
รูปที่ 2.13 รูปลักษณะของวงจรในช่วง D.....	14
รูปที่ 2.14 รูปลักษณะของวงจรในช่วง D'.....	14
รูปที่ 2.15 รูปคลื่นของวงจรเรียงกระแสแบบวิธีสวิตช์ในการทำงานภาคไฟสลับ-ไฟตรง.....	16
รูปที่ 2.16 ความสัมพันธ์ระหว่างอัตราการแปลงผัน (M) และค่าวัฏจักรงาน (D).....	17
รูปที่ 2.17 รูปลักษณะของวงจรเมื่อแรงดันด้านเข้าเป็นทั้งบวกและลบ.....	18
รูปที่ 2.18 วงจรเรียงกระแสแบบวิธีสวิตช์ในการทำงานภาคไฟสลับ-ไฟตรง และวงจรควบคุม.....	19
รูปที่ 2.19 รูปคลื่นของวงจรเรียงกระแสแบบวิธีสวิตช์ในการทำงานภาคไฟสลับ-ไฟตรง	22
รูปที่ 2.20 กระแสด้านเข้าของวงจรเรียงกระแสแบบวิธีสวิตช์.....	27
รูปที่ 2.21 แรงดันของตัวเก็บประจุ C1 และ C2.....	27
รูปที่ 2.22 กระแสทำแม่เหล็กของหม้อแปลงวงจรเรียงกระแสแบบวิธีสวิตช์.....	28

สารบัญภาพ (ต่อ)

รูปที่	หน้า
รูปที่ 2.23 แรงดันคร่อมสวิตช์ S1.....	28
รูปที่ 2.24 รูปขยายแรงดันตกคร่อมสวิตช์ S1	29
รูปที่ 2.25 กระแสตัวเหนี่ยวนำของวงจรรองด้านออก (L _f).....	29
รูปที่ 2.26 แรงดันตกคร่อมตัวเหนี่ยวนำของวงจรรองด้านออก (L _f).....	30
รูปที่ 2.27 แรงดันด้านออก (V _o).....	30
รูปที่ 2.28 วัฏจักรงาน (D)	31
รูปที่ 2.29 กระแสด้านเข้าของวงจรเรียงกระแสแบบวิธีสวิตช์.....	33
รูปที่ 2.30 แรงดันของตัวเก็บประจุ C1 และ C2.....	33
รูปที่ 2.31 กระแสทำแม่เหล็กของหม้อแปลง (i _{Lm})	34
รูปที่ 2.32 ค่าเฉลี่ยเฉพาะที่ของแรงดันตกคร่อมสวิตช์ในขณะหยุดนำกระแส.....	34
รูปที่ 2.33 แรงดันตกคร่อมตัวเหนี่ยวนำของวงจรรองด้านออก (L _f).....	35
รูปที่ 2.34 วัฏจักรงาน (D).....	35
รูปที่ 2.35 การแปรค่าความถี่การสวิตช์ของวงจร.....	36
รูปที่ 3.1 การแปรค่ากระแสทำแม่เหล็กของหม้อแปลงกับค่าตัวเก็บประจุด้านเข้า และค่าอัตราส่วนการแปลงแรงดัน.....	39
รูปที่ 3.2 การแปรค่าช่วงความถี่การสวิตช์กับค่าตัวเก็บประจุด้านเข้าและ ค่าอัตราส่วนการแปลงแรงดัน.....	40
รูปที่ 3.3 การแปรค่าแรงดันตกคร่อมสวิตช์ในขณะหยุดนำกระแสกับ ค่าตัวเก็บประจุด้านเข้าและค่าอัตราส่วนการแปลงแรงดัน.....	40
รูปที่ 3.4 กราฟที่ได้จากการนำค่าจากรูปที่ 3.1 คูณกับค่าในรูปที่ 3.3 เพื่อใช้ประกอบการ เลือกค่าตัวเก็บประจุด้านเข้า และค่าอัตราส่วนการแปลงแรงดันของหม้อแปลง...	41
รูปที่ 3.5 การใช้ไดโอดต่อ anti-parallel กับขดปฐมภูมิของหม้อแปลง.....	44
รูปที่ 3.6 วงจรควบคุมกระแสแบบฮิสเตอร์เรซิสที่มีแถบฮิสเตอร์เรซิสคงตัว.....	46
รูปที่ 3.7 วงจรกำเนิดค่าเวลาช่วงตาย (Dead Time Generator).....	48

สารบัญภาพ (ต่อ)

รูปที่	หน้า
รูปที่ 3.8 วงจรขับนำสวิทช์.....	48
รูปที่ 3.9 วงจรตรวจจับแรงดัน, กระแสและวงจรป้องกันแรงดัน, กระแสเกิน.....	50
รูปที่ 4.1 การทดสอบการทำงานของวงจร.....	51
รูปที่ 4.2 กระแสด้านเข้าของวงจร (2 A / ช่อง, รูปบน) มีค่าเท่ากับ 1.191 A.rms และแรงดันด้านเข้าของวงจร (250 V/ช่อง, รูปล่าง) มีค่าเท่ากับ 220 Vrms.....	52
รูปที่ 4.3 รูปขยายของกระแสด้านเข้า(2 A. / ช่อง, รูปบน)และแรงดันด้านเข้า (250 V. / ช่อง, รูปล่าง)โดยที่กระแสด้านเข้ามีแถบฮิสเตอร์ซีทีประมาณ 2.3 A. และมีความถี่สูงสุดในการสวิทช์ประมาณ 16.6667 kHz.....	52
รูปที่ 4.4 แรงดันตกคร่อมสวิทช์ S1 (250 V. /ช่อง) มีค่าสูงสุดเท่ากับ 860 โวลต์.....	53
รูปที่ 4.5 รูปขยายของแรงดันตกคร่อมสวิทช์ S1 (250 V. /ช่อง) จะเห็นว่าไม่มีแรงดันยอดแหลมตกคร่อมสวิทช์ในช่วงที่สวิทช์ตัดวงจร.....	53
รูปที่ 4.6 กระแสผ่านสวิทช์ S1 (5 A. /ช่อง) มีค่าสูงสุดเท่ากับ 8.4 A.....	54
รูปที่ 4.7 รูปขยายแรงดัน(250 V./ช่อง)และกระแสของสวิทช์ S1(5 A./ช่อง) ขณะสวิทช์ S1 ตัด วงจร ณ เวลา 7 ms.....	54
รูปที่ 4.8 แรงดันตกคร่อมตัวเก็บประจุ C1 และ C2 (250 V /ช่อง) มีค่าสูงสุดเท่ากับ 555 V. และต่ำสุดเท่ากับ 220 V.....	55
รูปที่ 4.9 กระแสของตัวเหนี่ยวนำความถี่ต่ำ (Lmf) (2 A./ช่อง) มีค่าสูงสุดด้านบวกเท่ากับ 4.04 A. และมีค่าสูงสุดด้านลบเท่ากับ -5.16 A.	55
รูปที่ 4.10 รูปคลื่นแรงดันตกคร่อมตัวเหนี่ยวนำความถี่ต่ำ (Lmf) (250 V. / ช่อง) มีค่ายอดสูงสุดเท่ากับ 555 V. ทั้งด้านบวกและด้านลบ.....	56
รูปที่ 4.11 กระแสที่ไหลผ่านตัวเก็บประจุ C1 (5 A. / ช่อง, รูปบน) และกระแสด้านเข้า (2 A. / ช่อง, รูปล่าง)	56
รูปที่ 4.12 กระแสที่ไหลผ่านตัวเก็บประจุ C2 (5 A. / ช่อง, รูปบน) และกระแสด้านเข้า (2 A. / ช่อง, รูปล่าง).....	57

สารบัญญภาพ (ต่อ)

รูปที่		หน้า
รูปที่ 4.13	กระแสด้านเข้าของหม้อแปลง (2 A. / ช่อง).....	57
รูปที่ 4.14	แรงดันด้านออกของวงจร (vo) (25 V. / ช่อง) มีค่าเฉลี่ยเท่ากับ 47.965 V. และมีค่า RMS เท่ากับ 48.16 V.	58
รูปที่ 4.15	กระแสด้านออกของวงจร (io) (5 A. / ช่อง) มีค่าเฉลี่ยเท่ากับ 3.985 A. และมีค่า RMS เท่ากับ 4.05 A.	58
รูปที่ 4.16	ค่ากระแสที่วัดได้จาก POWER HARMORNICS ANALYZER	61
รูปที่ 4.17	ค่ากำลังด้านเข้าที่วัดได้จาก POWER HARMORNICS ANALYZER.....	61
รูปที่ 4.18	ค่ากระแสด้านออกที่วัดได้จาก POWER HARMORNICS ANALYZER.....	62
รูปที่ 4.19	ค่าแรงดันด้านออกที่วัดได้จาก POWER HARMORNICS ANALYZER.....	62
รูปที่ 4.20	ค่ากำลังด้านออกที่วัดได้จาก POWER HARMORNICS ANALYZER.....	62